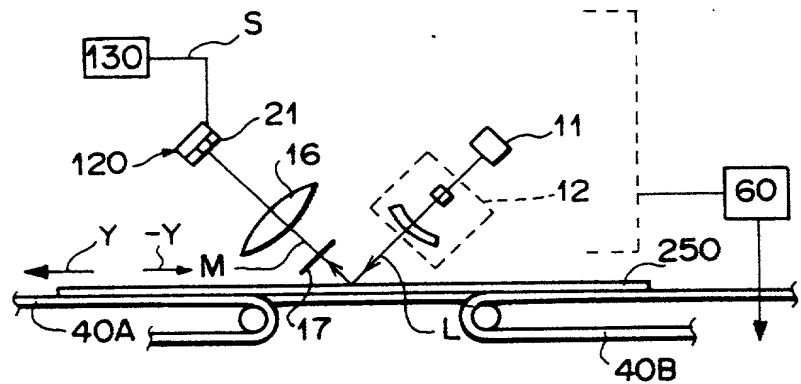
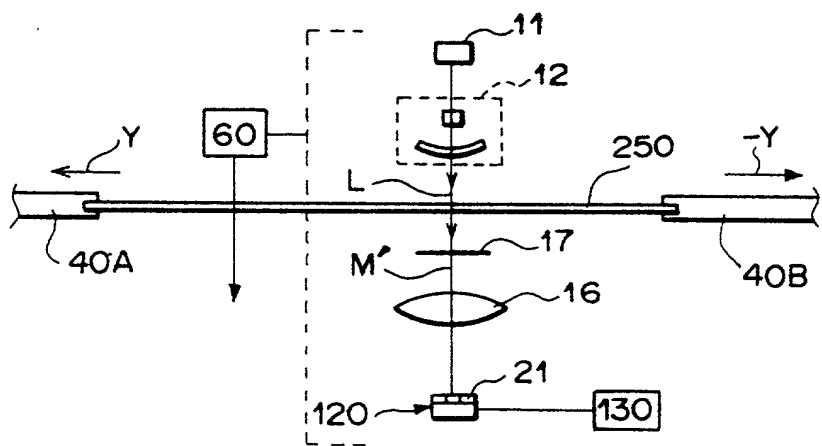
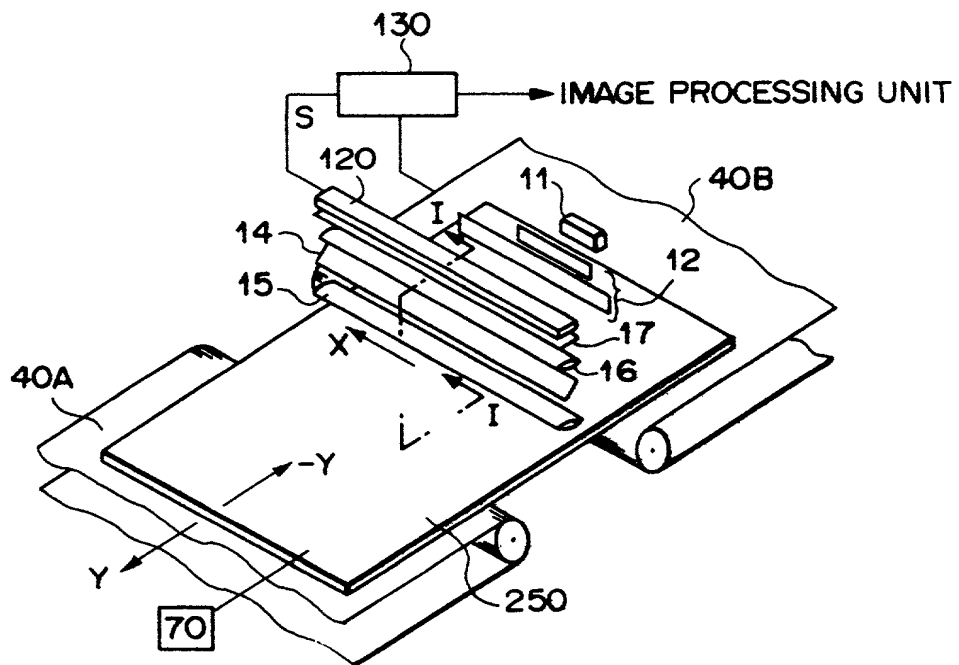
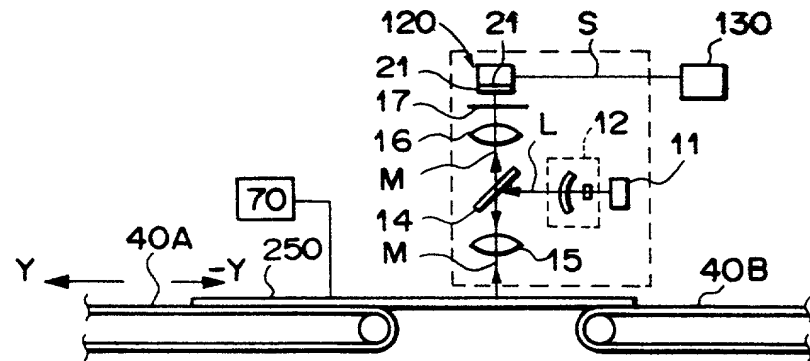


F I G . 30

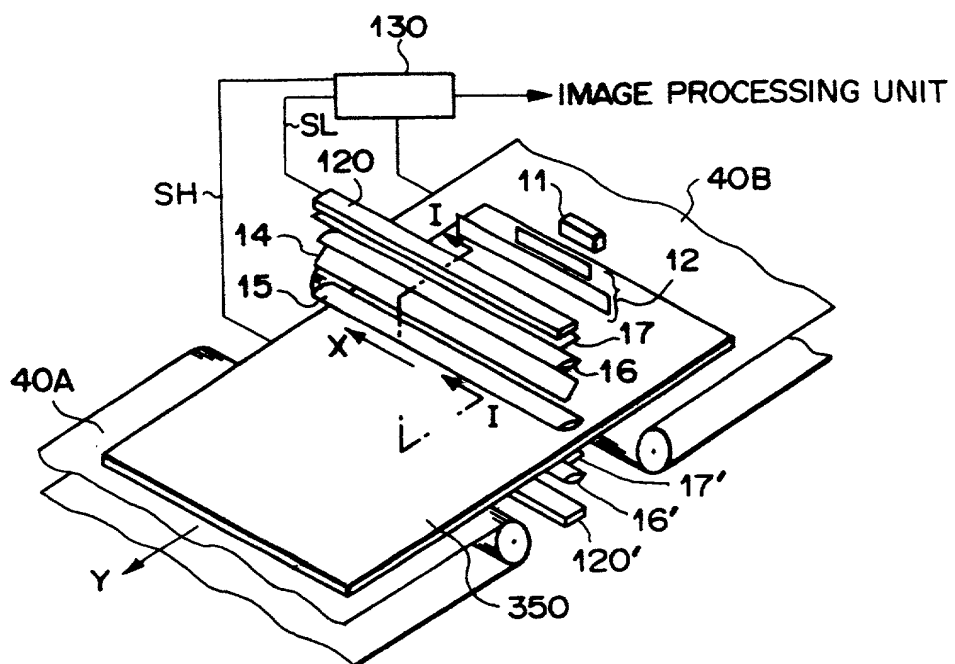


F I G . 31

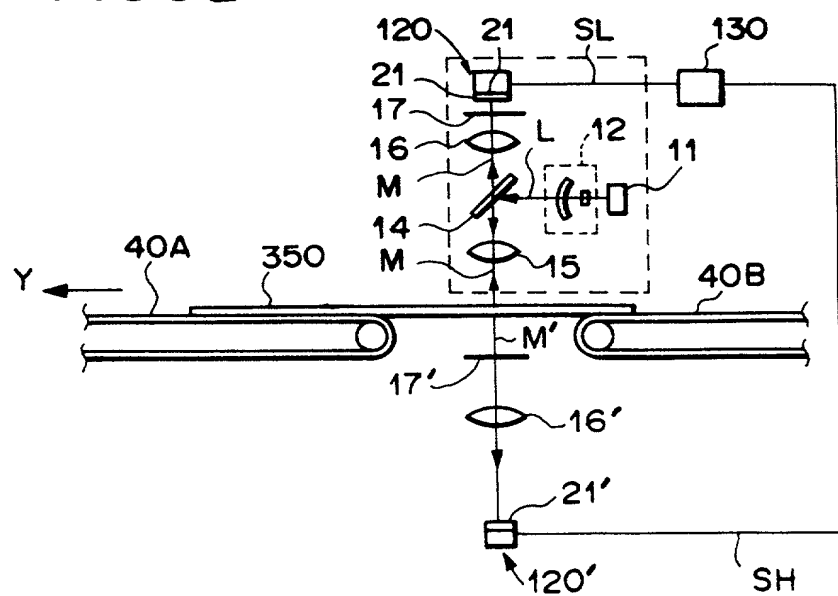


**F I G. 32A****F I G. 32B**

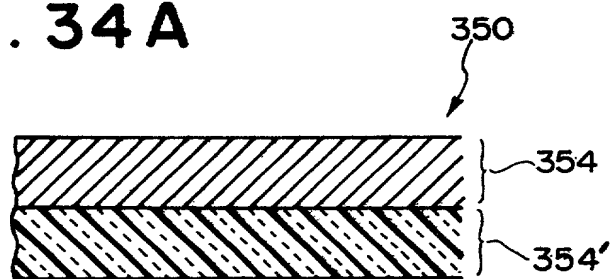
**F I G. 33A**



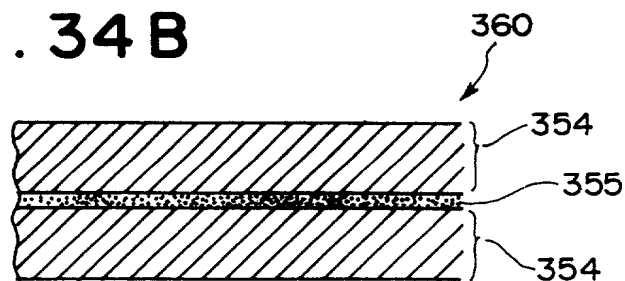
**F I G. 33B**



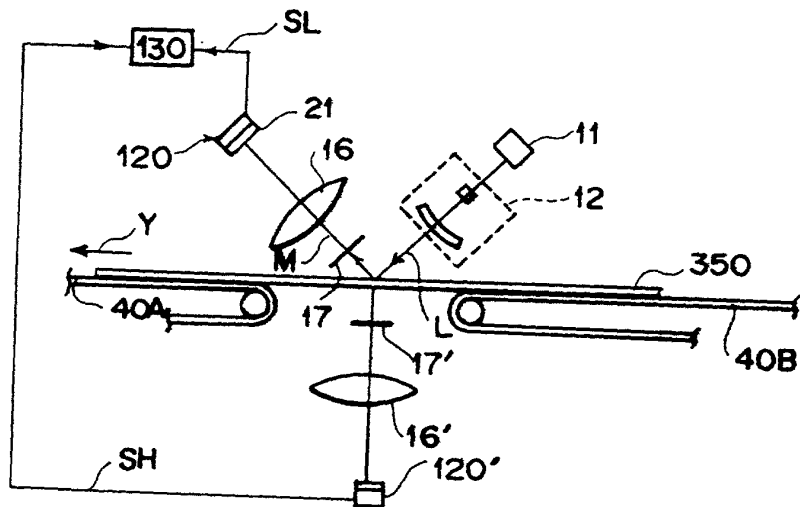
**F I G. 34A**



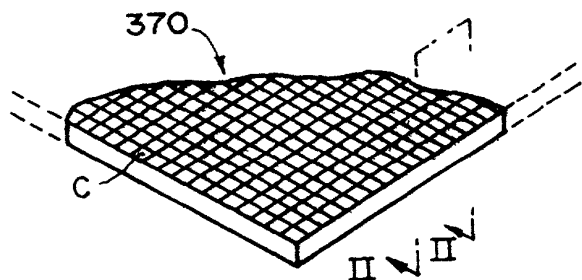
**F I G. 34B**



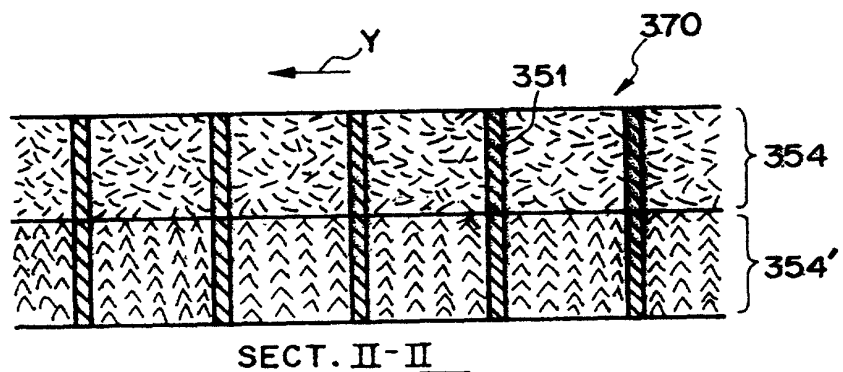
F I G . 35



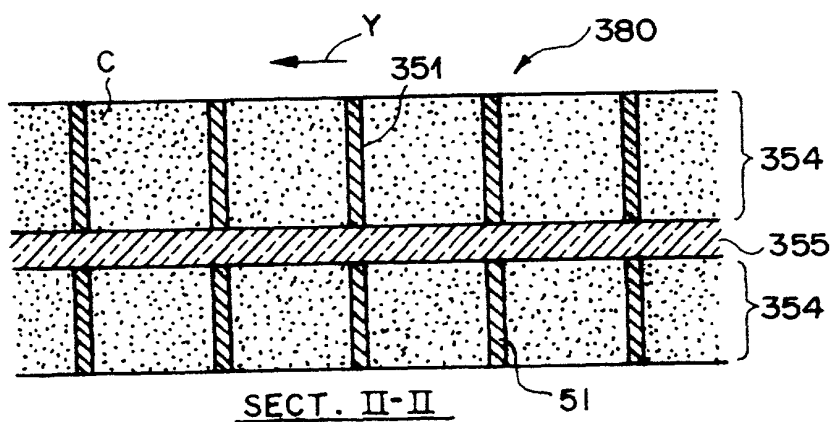
F I G. 36A



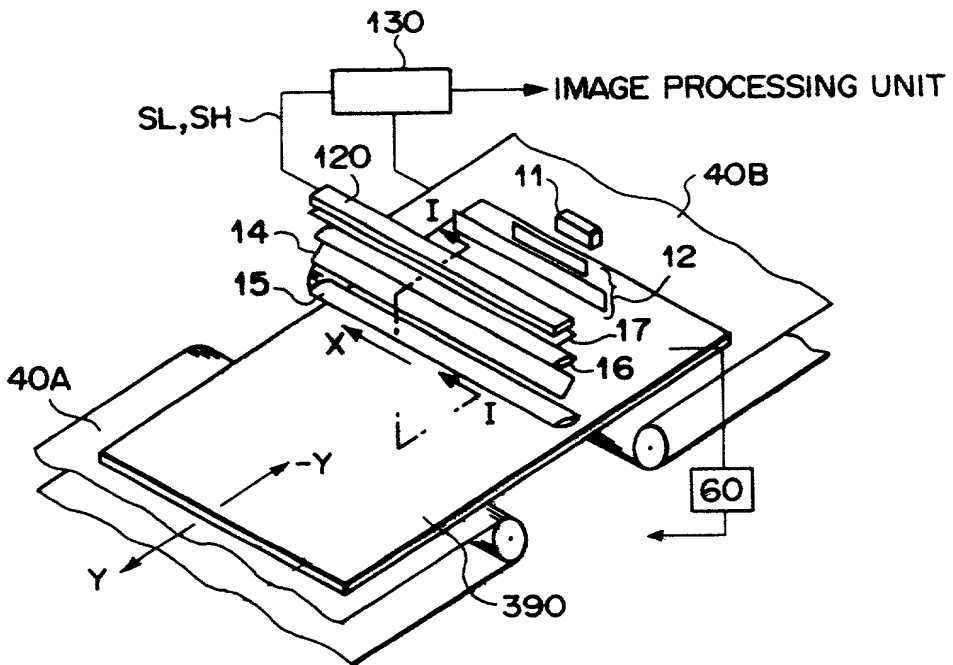
F I G. 36B



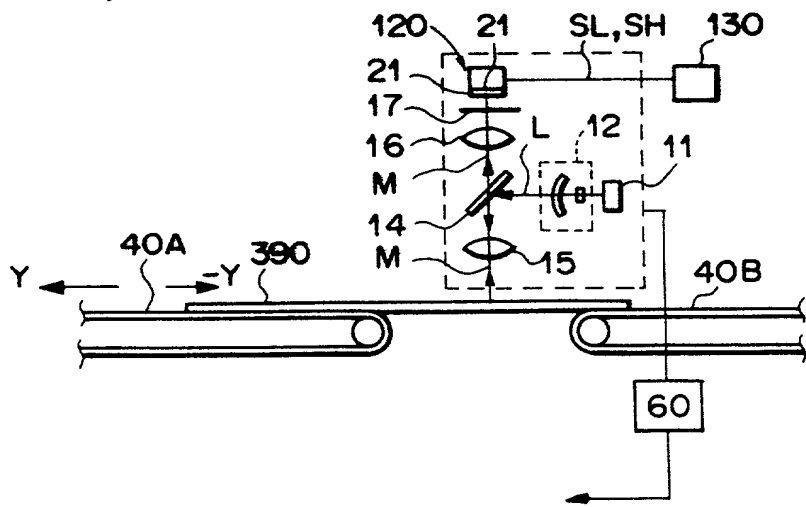
F I G. 36C



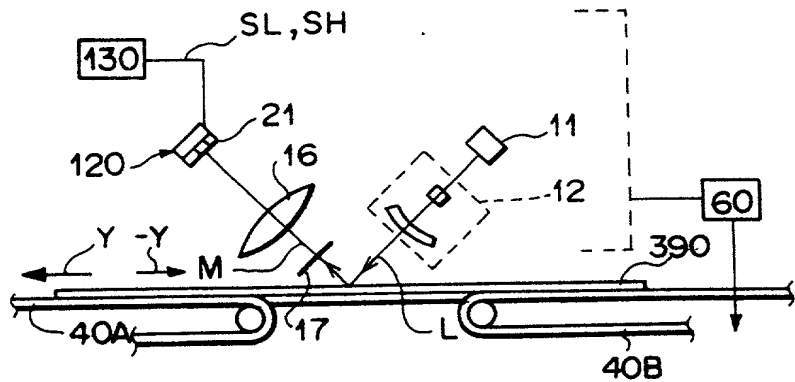
**F I G . 37A**



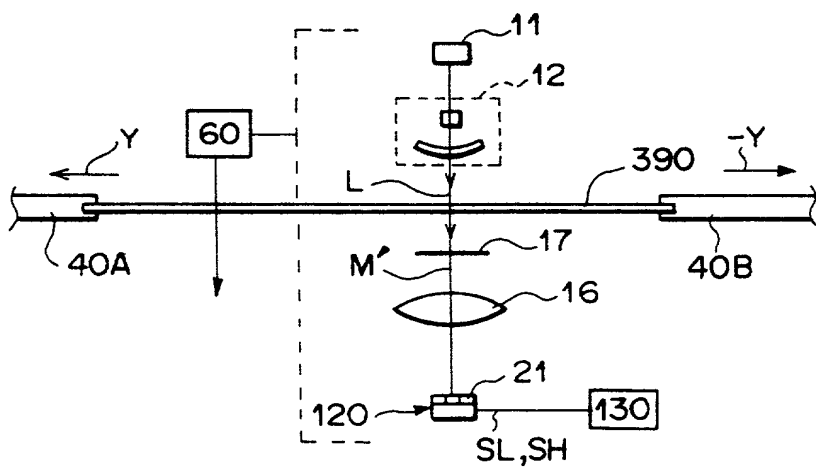
**F I G . 37B**



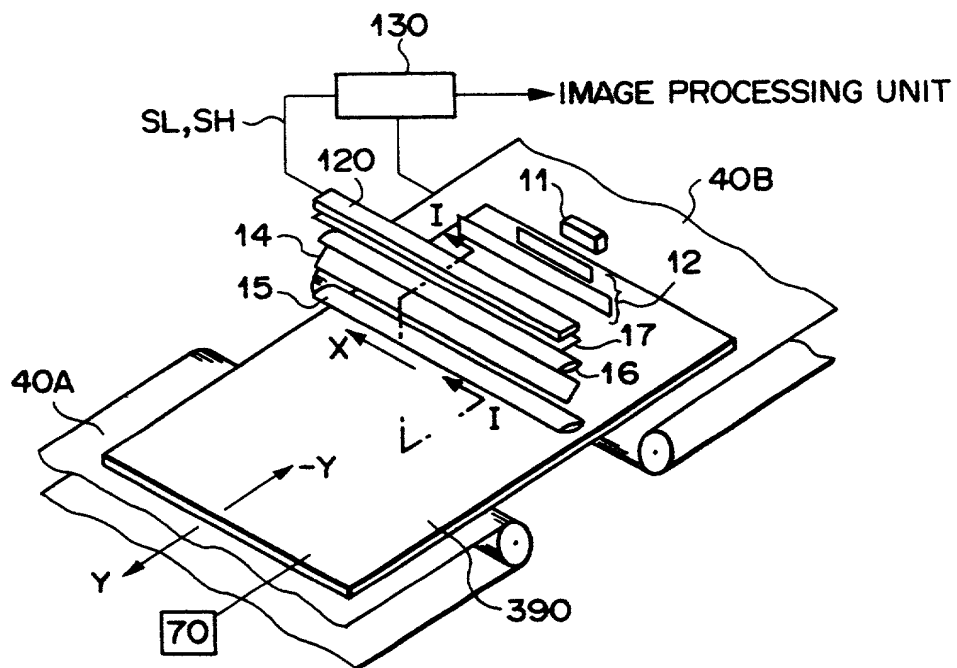
## F I G. 38



## F I G. 39



# F I G. 40A



## **F I G. 40B**

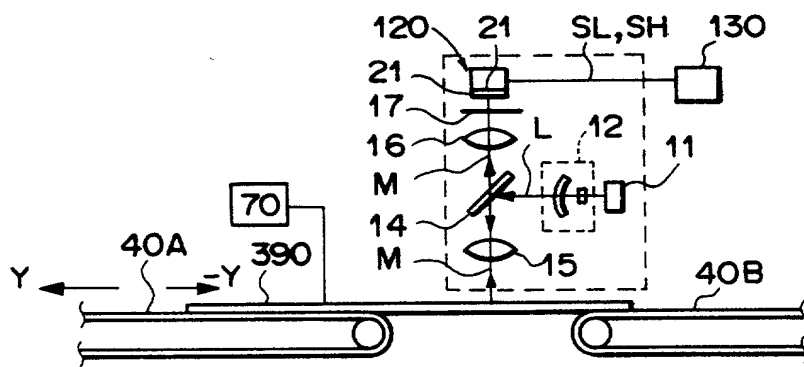


FIG. 41

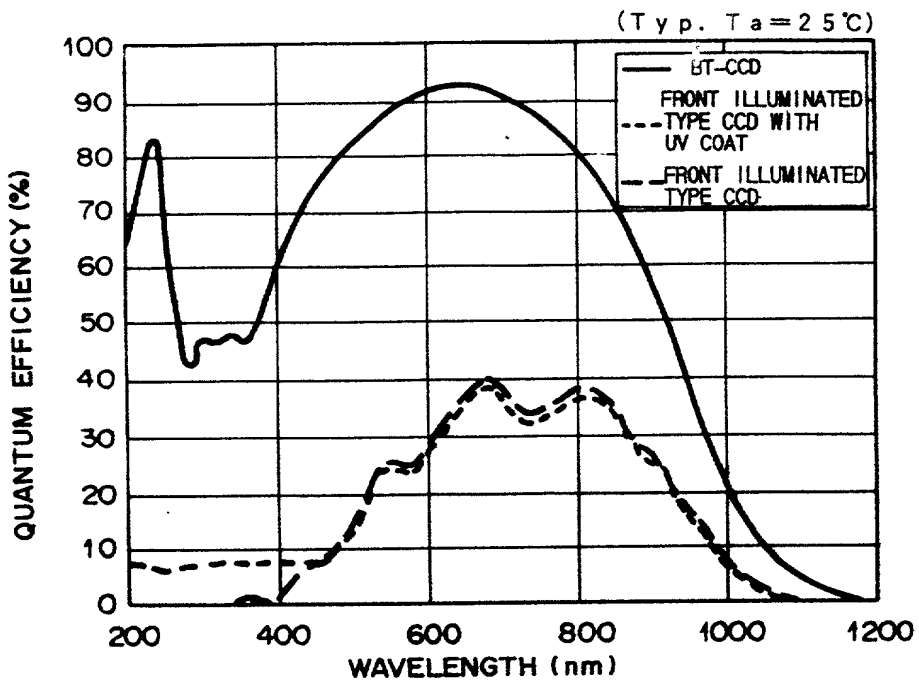
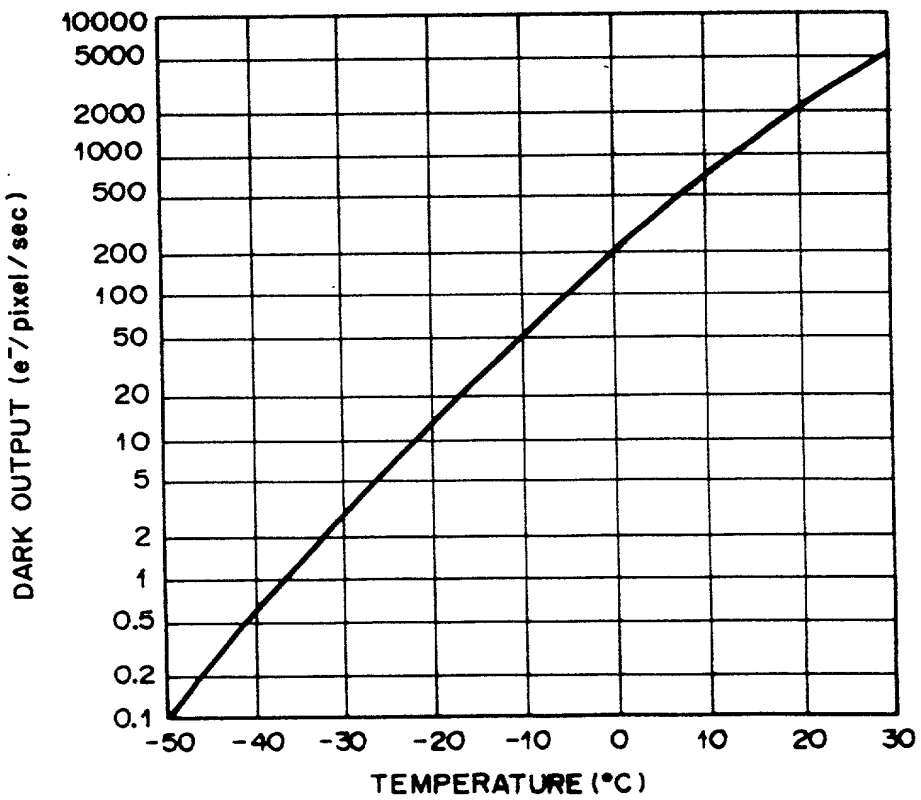
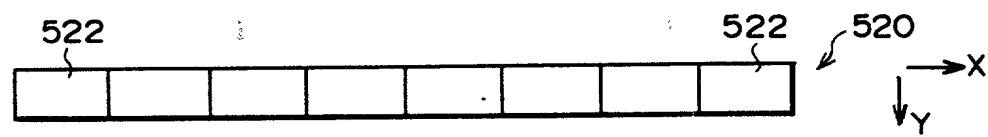


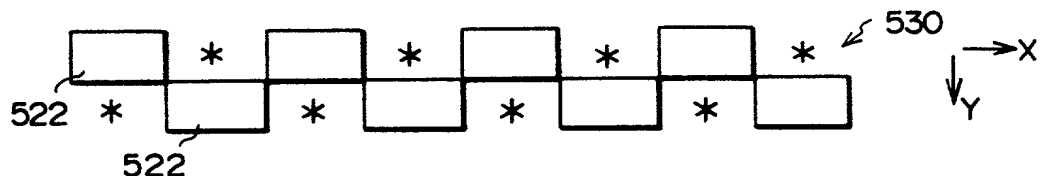
FIG. 42



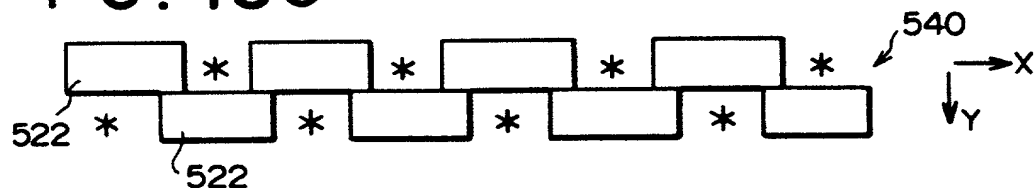
**F I G. 43A**



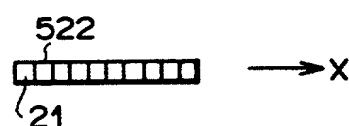
**F I G. 43B**



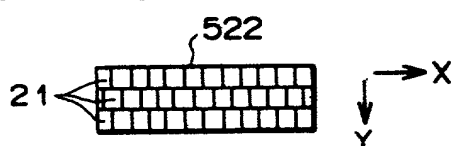
**F I G. 43C**



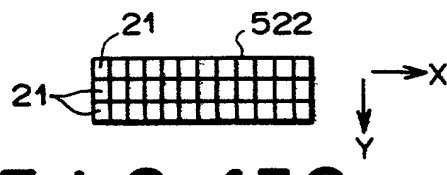
**F I G. 43D**



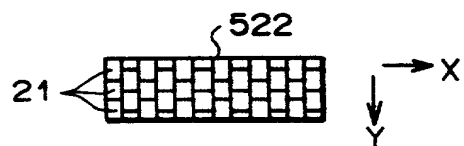
**F I G. 43F**



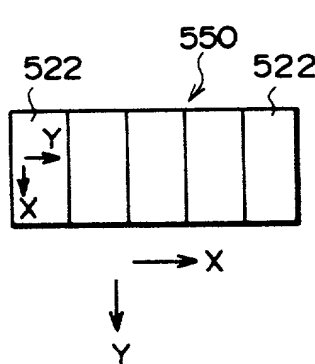
**F I G. 43E**



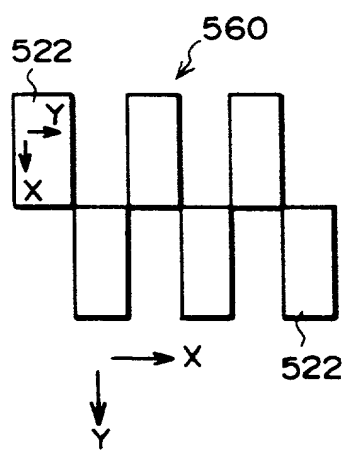
**F I G. 43G**



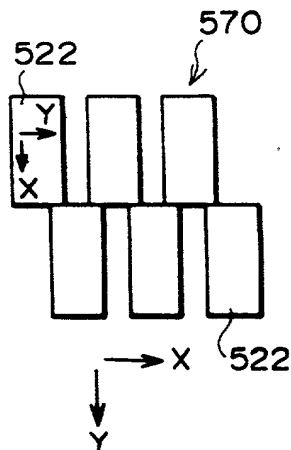
**F I G. 43H**



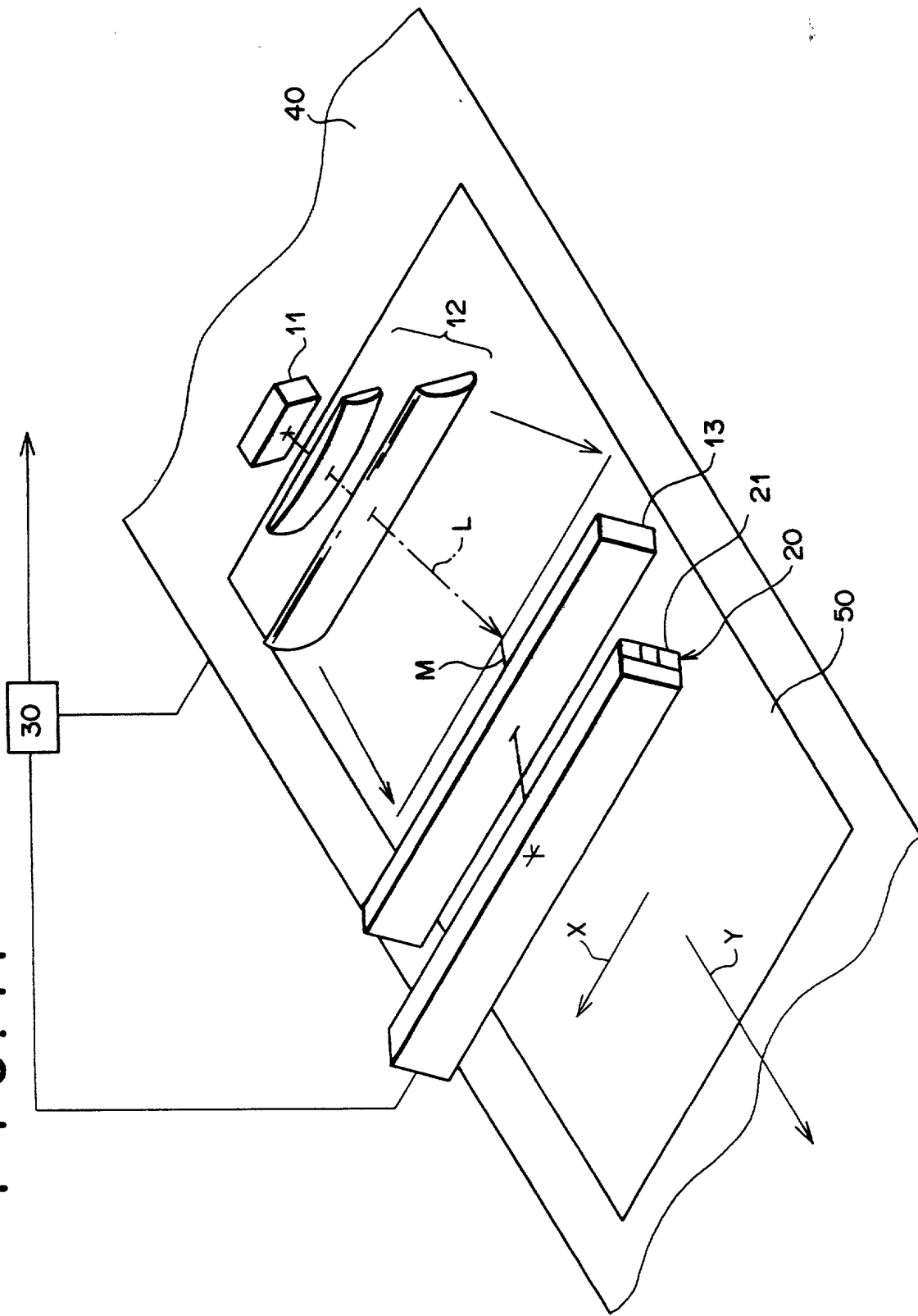
**F I G. 43I**



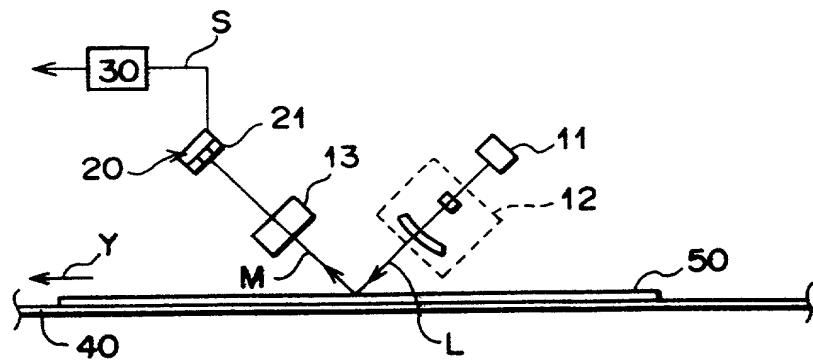
**F I G. 43J**



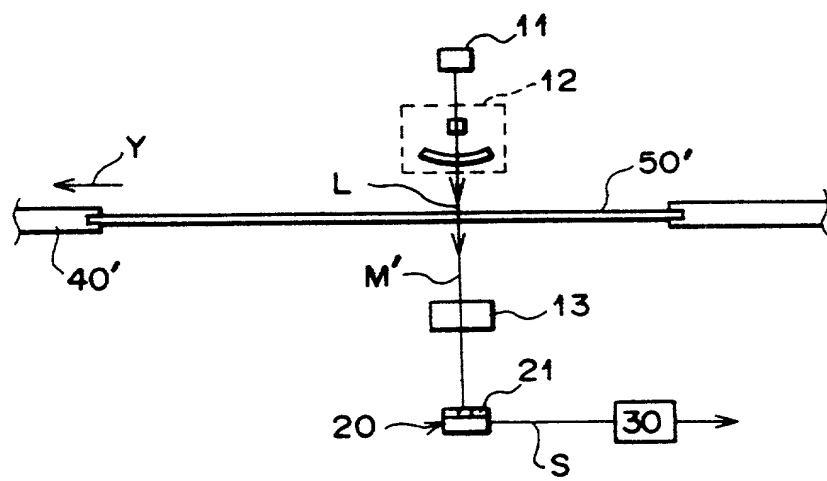
**F I G . 44**



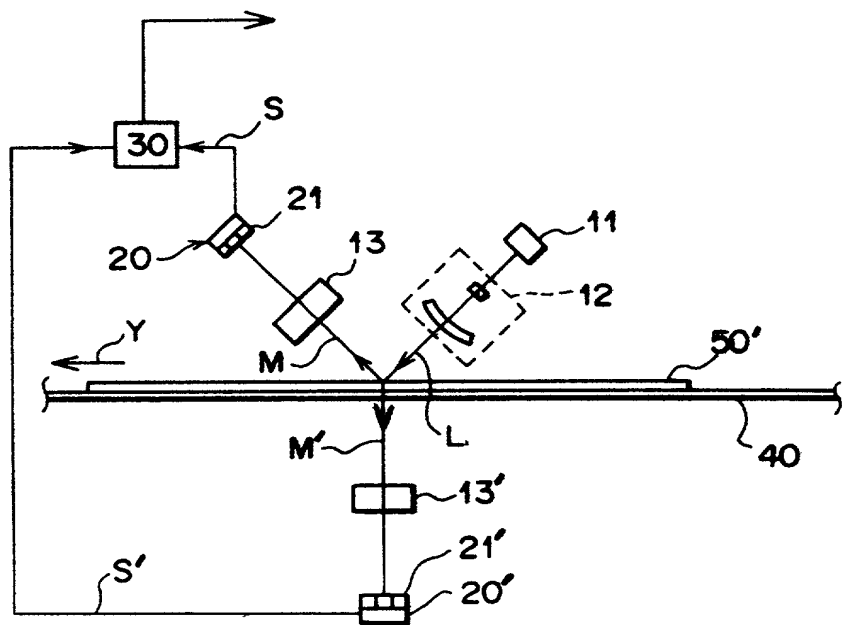
F I G. 45



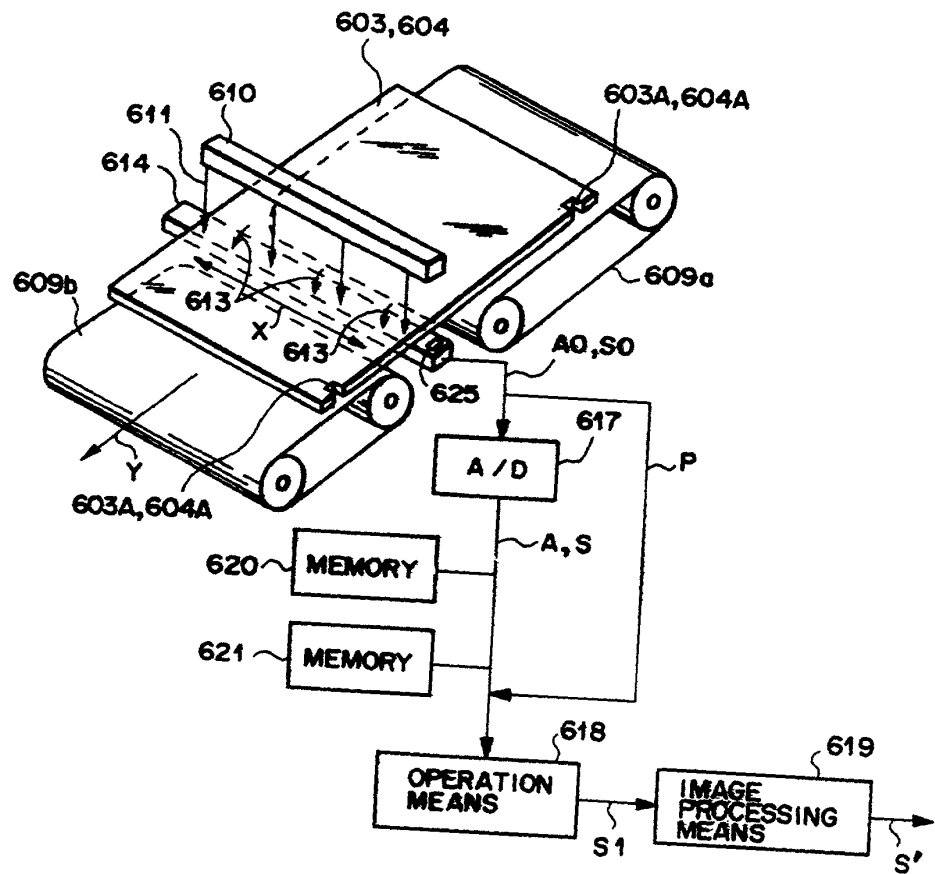
F I G. 46



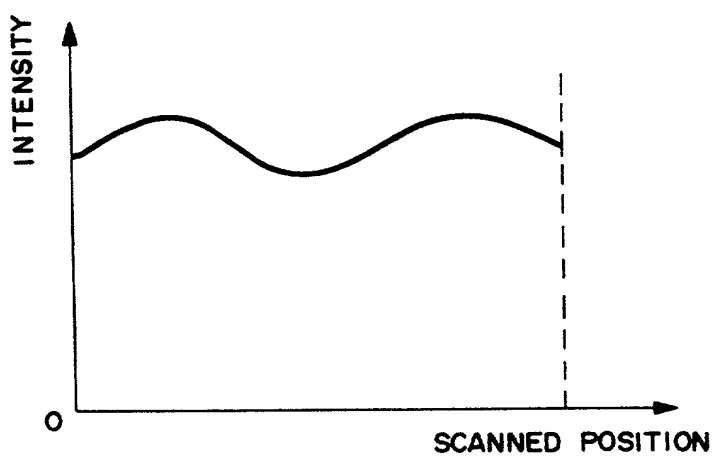
F I G. 47



# FIG. 48



## FIG. 49



Q64937

Divisional Appn of 09/329,320

Yuji ISODA, et al.

RADIATION IMAGE READ-OUT METHOD

AND APPARATUS

Page 43 of 43

## FIG. 49

